

ÚJV 7762-R

А. Голубарж

ВЫЧИСЛЕНИЕ И ПРЕДВАРИТЕЛЬНЫЙ АНАЛИЗ ГРУППОВЫХ  
СЕЧЕНИЙ ДЛЯ ГАДОЛИНИЯ И ЕГО ИЗОТОПОВ

ОТЧЕТ

Ржеж, август 1986 г.

**NUCLEAR RESEARCH INSTITUTE**

**ŘEŽ – CZECHOSLOVAKIA**

**INFORMATION CENTRE**

ÚJV 7762 - R

А. Голубарж

ВЫЧИСЛЕНИЕ И ПРЕДВАРИТЕЛЬНЫЙ АНАЛИЗ ГРУППОВЫХ  
СЕЧЕНИЙ ДЛЯ ГАДОЛИНИЯ И ЕГО ИЗОТОПОВ

Вычисление и предварительный анализ групповых сечений для гадолиния и его изотопов

Аннотация

На основе данных из библиотек ENDL-78 и ENDF/B-IV программой FEDGROUP-3 были вычислены групповые константы типа ENAB и THSIG для отдельных изотопов и для естественной смеси гадолиния. Сделано сравнение разных наборов групповых констант типа ENAB для естественной смеси гадолиния (разные библиотеки оцененных ядерных данных, разные вычислительные программы) и объяснены важнейшие отклонения. Выполнено тоже сравнение сечения захвата для отдельных изотопов с опубликованными данными. В заключении рекомендованы подходящие наборы данных для применения к расчетам элементарных топливных ячеек содержащих гадолиний. Приводятся графические изображения зависимостей важнейших сечений от энергии нейтронов.

Calculation and preliminary analysis of group cross-sections for gadolinium and its isotopes

Abstract

Evaluated nuclear data files ENDL 78 and ENDF/B-IV and the cross-section generation code FEDGROUP-R were used to produce averaged group cross-sections for the group system ENAB and THSIG for gadolinium and its individual isotopes. Different sets of group cross-sections for gadolinium (due to different evaluated data files or different processing codes) were compared and significant differences analyzed. Comparison of group capture cross-sections for individual isotopes of gadolinium with published data was carried out. Group cross-sections data sets prepared are analyzed from the point of view to what extent can they meet the requirements of the cell calculations for the gadolinium-loaded fuel. Some group cross-section tables and cross-section plots are presented.

## Содержание

	стр.
1. Введение	5
2. Свойства гадолиния, важные для нейтронно-физического расчета	5
3. Доступная информация о сечениях гадолиния	7
4. Расчет групповых констант	8
5. Сравнение разных наборов групповых сечений	9
5.1. Сравнение групповых сечений радиационного захвата для естественной смеси гадолиния	10
5.2. Сравнение групповых сечений упругого рассеяния для естественной смеси гадолиния	11
5.3. Сравнение групповых констант для отдельных изотопов гадолиния	12
6. Заключение	14
6.1. Групповая система	15
6.2. Источник использованных информации о сечениях	15
6.3. Учет резонансной самоэкранировки сечений	16
Литература	17
Таблицы групповых констант	
Графические представления сечений	

## 1. ВВЕДЕНИЕ

Исследование применения гадолиния в качестве выгорающего поглотителя расплавленного в топливе ядерного реактора необходимо обеспечить нейтронно-физическими расчетами влияния гадолиния на нейтронный баланс в элементарной топливной ячейке в начальном состоянии и тоже в течение выгорания. Расчеты нейтронного баланса в элементарной ячейке в нашем институте проводятся программой MICROBE /1/. Библиотека многогрупповых сечений применяется программой MICROBE формально состоит из групповой системы типа BHAB /2/ в надтепловой области и 43-групповой системы THSIG /3/ в области термализации. Что касается содержания, в состав библиотеки могут входить следующие наборы констант.

Библиотека THSIG содержит групповые сечения вычисленные на основе нескольких библиотек ядерных данных (смотри /3/), но для материалов начального состояния активной зоны в большинстве использованы данные из SNDL-2 /4/.

В надтепловой области (групповая система BHAB) есть в распоряжении библиотека BHAB 64 /5/ (с учетом некоторых дополняющих изменений в начале 70-ых годов), и библиотеки /8,9,10/ подготовленные программой FEDGROUP /5,6,7/ на основе библиотек оцененных ядерных данных KEDAK-3 /11/, SIDL-78 /12/ и ENDF/B-IV /13/. В настоящее время программой FEDGROUP-R вычислены константы для библиотеки THSIG на основе данных из ENDF/B-IV, которые вместе с /10/ создаст полную библиотеку групповых сечений (во всей области энергий) основанную на ENDF/B-IV.

Оригинальная библиотека THSIG содержит данные для Gd 155 и Gd 157 на основе SIDL-2 и данные для изотопов с Gd 155 до Gd 160 на основе /14/, но в надтепловой области групповые константы для гадолиния и его отдельных изотопов до сих пор отсутствуют. Поэтому, в связи с современными тенденциями использования гадолиния /15/, для расчетов элементарных топливных ячеек содержащих гадолиний в топливе были программой FEDGROUP-R /7/ подготовлены 26-групповые константы типа BHAB для природной смеси гадолиния (один набор констант на основе ENDF-78, второй на основе ENDF/B-IV) и для отдельных изотопов гадолиния (на основе ENDF/B-IV). Константы входят в состав библиотеки /10/, вычислены тоже соответствующие константы для системы THSIG.

В этом отчете сначала коротко упомянуты некоторые свойства гадолиния имеющие влияние на требования, которым должны удовлетворять как способ расчета элементарной ячейки, так и описание сечений гадолиния. Перечислены наборы оцененных данных для гадолиния, которые в настоящее время в нашем распоряжении, на основе этих данных программой FEDGROUP-R подготовлены наборы групповых констант и проводятся сравнения разных наборов 26-групповых констант для природной смеси гадолиния. В дополнение прилагаются таблицы 26-групповых констант для изотопов и естественной смеси гадолиния и рисунки зависимостей некоторых сечений от энергии.

## 2. СВОЙСТВА ГАДОЛИНИЯ, ВАЖНЫЕ ДЛЯ НЕЙТРОННО-ФИЗИЧЕСКОГО РАСЧЕТА

Естественная смесь гадолиния состоит из семи изотопов. Содержание этих изотопов в естественной смеси, их сечения радиационного захвата при энергии нейтрона 0.0253 эВ и резонансные интегралы приводятся в таблице 1. Данные переписаны из /18/, где как оригинальные источники информации приводятся /20/ (содержание изотопов) и /19/ (сечения при энергии 0.0253 эВ). Резонансные интегралы взяты из текстовой информации в начале отдельных наборов данных в ENDF/B-IV.

Таблица 1

Материал	Содержание в естественной смеси /%/	$\sigma_{(n,\gamma)}$ для $E=0.0253$ эВ /барн/	Резонансный интеграл /барн/
Gd 152	0,20	1000(14,4/16/)	
154	2,18	85	248,170
155	14,80	61000	1542,000
156	20,47	1,5	129,570
157	15,65	254000	973,000
158	24,84	2,5	63,092
160	21,86	0,77	8,562
Gd	-	49000	

Содержание в естественном элементе изотопа Gd 152 настолько мало, что в нейтронно-физических расчетах его не учитывают. Взаимодействием с нейтронным потоком вследствие радиационного захвата, содержание изотопов будет меняться. Из сравнения сечений в таблице 1 видно, что наиболее быстрым изменением будет уменьшение концентраций изотопов Gd 155 и Gd 157 и возраст концентраций Gd 158 и Gd 156. После некоторого времени облучения, достаточного для выгорания большинства исходного количества Gd 155 и Gd 157, достигается приблизительно равновесного состояния, когда концентрации этих двух изотопов остаются почти постоянными вследствие продукции из изотопов Gd 154 и Gd 156 /16/. Из-за возраста концентрации изотопа Gd 158 некоторые методики расчета /17/ учитывают тоже присутствие изотопа Gd 159, но сечения этого изотопа в библиотеках не приводятся.

Но эти изменения изотопного состава не происходят во всем объеме топливного элемента одновременно. В результате больших сечений нечетных изотопов внутренняя часть топливного элемента экранирована и поглощение происходит в поперечном слое. Только когда в этом слое концентрации изотопов Gd 155 и Gd 157 значительно уменьшаются, происходит основная часть поглощения нейтронов в области ближе оси элемента. Этот способ выгорания гадолиния по слоям ("onion-skin" fashion /17/) приводит к повышенным требованиям к вычислительным программам что касается числа радиальных областей топливного элемента, в которых надо отдельно учитывать изменения изотопного состава (именно гадолиния). Уменьшение эффекта самоэкранирования топливных элементов в результате выгорания гадолиния и соответствующий возраст теплового потока нейтронов внутри элементов одновременно приводит к ограничениям интервалов времени при расчете выгорания по сравнению с расчетами выгорания элементарных ячеек без гадолиния /17/.

Для представления сечений гадолиния в форме многогрупповых констант особенно важно, что у изотопов Gd 155 и Gd 157 большие резонансы в тепловой области, в результате которых появляется значительный эффект самоэкранирования и значительным является тоже эффект взаимного экранирования резонансов изотопов Gd 155 и Gd 157 /17/. Поэтому групповая система надо быть достаточно тонкая, чтобы групповые константы достаточно точно описывали большие резонансы, или, в случае более грубой системы, целесообразно чтобы дополнившая информация о резонансной области (в нижнем случае коэффициенты резонансной самоэкранировки), хорошо учитывала взаимное самоэкранирование резонансов Gd 155 и Gd 157.

### 3. ДОСТУПНАЯ ИНФОРМАЦИЯ О СЕЧЕНИЯХ ГАДОЛИНИЯ

Учитывая библиотеки оцененных ядерных данных, которые в настоящее время в распоряжении нашего института, данные для гадолиния находятся только в ENDL-78 (естественная смесь Gd, обозначение материала MAT=7853) и ENDF/B-IV:

#### ENDF/B-IV General Purpose File

(в следующем будем обозначать E4GP)

Gd (естественная смесь) MAT=1030

#### ENDF/B-IV Fission Products

(в следующем E4FP)

Gd 154	MAT=791
Gd 155	792
Gd 156	793
Gd 157	794
Gd 158	795
Gd 160	797

В комментариях сопровождающих данные для каждого материала в ENDF/B-IV можно прочитать что наборы данных для отдельных изотопов гадолиния (в E4FP) были сделаны другими специалистами и на основе других источников информации чем набор данных для естественной смеси (в E4GP). Оценка данных для естественной смеси сделана в 1966 г., оценка данных для отдельных изотопов в 1974 г. (резонансные параметры из BNL-325 (1973 г.) /19/.

В нашем распоряжении тоже библиотека ENDF/B-V - Fission Products, но для изотопов гадолиния там приводятся только некоторые данные, и что касается сечений, они входят в библиотеку ENDF/B-V General Purpose File, но этой библиотеки пока нет в МАГАТЭ.

В нашем институте тоже библиотека SNDL-2 /4/, где приводятся сечения для Gd 155 и Gd 157 в области с 0.001 до 5.0 эВ. Как написано в /4/, основной информацией для подготовки SNDL-1 были данные из /19/ и учетом некоторых более современных информации, именно для делящихся материалов, возникла библиотека SNDL-2. Из этого следует, что данные для Gd 155 и Gd 157 в основном будут совпадать с константами подготовленными на основе E4FP.

В виде групповых сечений можно получить данные для естественной смеси гадолиния из ENAB 78 (по комментарий в /21/ константы были вычислены на основе ENDL-78).

Исходным источником данных о сечениях материалов является книга /30/, заменяющая собой третье издание BNL-325 с 1973 года /19/. Интересно посмотреть данные для гадолиния приведенные в этой книге и сравнить их с до сих пор нам доступными данными из ENDF/B-IV. На основе такого сравнения можно грубо оценить какие изменения в данных для гадолиния можно ожидать в связи с появлением и использованием более современных версий библиотеки ENDF/B.

Основные характеристики гадолиния (по данным из /30/) показаны в таблице 16. Сравнением с таблицей 1 видно, что существенных изменений нет, интересно только заметить заниженные значения резонансных интегралов для Gd 155 и Gd 157

Что касается резонансных параметров, число разрешенных резонансов описанным в /30/ всегда больше чем в ENDF/B-IV, для некоторых материалов даже в три раза. Но одновременно необходимо подчеркнуть, что, во первых, параметры резонансов приведенных уже в ENDF/B-IV практически не изменяются и новые резонансы появляются только из-за повышения верхней границы области разрешенных резонансов, и во вторых, в большинстве случаев для вновь дополненных резонансов не приводится оценки ширины для реакции  $(n, \gamma)$ , или только в скобках поставлена предварительная оценка.



На основе этого можно предполагать, что в ENDF/B-V существенных изменений в данных о сечениях изотопов гадолиния не будет.

Таблица 16

Материал	Содержание в естественной смеси [%]	$\sigma(n, \gamma)$ /барн/ Т при $E=0.0253$ эВ М в спектре Максвелла Р в реакторном спектре	коэффициент Весткота	$I_T$ /барн/ резонансный интеграл с... рассчитанный на основе резонансных параметров
Gd		48890±104 Т	0.8467	390±10
Gd 152	0.20	735±20 М		2020±160
153		36000±4000 Р		
154	2.1	85±12 Т	0.9967	335±50; 230±25 с
155	14.8	60900±500 Т	0.8425	1447±100 с
156	20.6	1.5±1.2 М	1.0006	104±15
157	15.7	254000±815 Т	0.8509	700±20 с
158	24.8	2.2±0.2 Т	1.0009	73±7
160	21.8	0.77±0.02 М	0.9997	7.2±1.0 с
161		31000 ±12000 Р		

#### 4. РАСЧЕТ ГРУППОВЫХ КОНСТАНТ

Для подготовки групповых констант были использованы наборы данных из библиотек ENDL-78 и ENDF/B-IV. В ENDL-78 не приводятся резонансные параметры, зависимость сечения от энергии нейтрона описана таблицей точечных значений и правилами интерполяции. В ENDF/B для каждого материала может быть определена область энергий (резонансная область), где сечение описано параметрами резонансов и поточечно определенной поправкой. Значение сечения в любой точке из этой области получается сложением соответствующих вкладов от всех резонансов и добавлением поправки этой точке. Резонансные области для гадолиния и его отдельных изотопов приводятся в таблице 2.

Таблица 2 Границы резонансных областей

Материал	файл ENDF/B-IV	Обозначение материала MAT=	Нижняя граница /эВ/	Верхняя граница /эВ/
Gd	General Purpose	1030	0.00001	50.0
Gd 154	Fission Products	791	- " -	275.96
155	- " -	792	- " -	69.883
156	- " -	793	- " -	1452.3
157	- " -	794	- " -	309.17
158	- " -	795	- " -	6037.6
160	- " -	797	- " -	2883.7

Расчеты групповых констант были сделаны программой FEDGROUP-R /7/ (для расчета констант типа ВНАБ использован такой же стандартный спектр как и в /4/,/21/). Эта программа при обработке каждого материала подготавливает файл данных (в определенном формате), в который входят тоже поточечные представления сечений во всей области энергий (в случае материала из ENDF/B этому предшествует расчет сечений на основе резонансных параметров). Эти данные потом могут быть использованы для расчета констант в любой системе групповых границ (например для системы THSIG) или например для графического изображения зависимостей сечений.

Для отдельных изотопов гадолиния с Gd 154 до Gd 158 и Gd 160 были вычислены 26 групповые константы типа ВНАБ (и 43 групповые THSIG) на основе ENDF/B-IV Fission Products (E4FP). Соответствующие наборы констант имеют обозначения с IN =132 до IN =137 в /10/.

Для естественной смеси гадолиния были сделаны следующие расчеты 26-групповых констант типа ВНАБ:

- 1) на основе ENDL-78, MAT=7853, обозначение IN =104 в /10/
- 2) на основе ENDF/B-IV General Purpose File (E4GP), MAT=1030, обозначение IN=102 в /10/
- 3) расчет программами LINEAR-RECENT-GROUPS /24/ (в следующем L-R-G) на основе E4GP, MAT=1030. (На основе международного проекта МАРАТЭ по сравнению и проверке программ для подготовки групповых констант на основе ENDF/B-IV,V /26/ система L-R-G является одной из программ, результаты которых можно считать стандартными. Поэтому в нашем институте иногда используются для проверки подготовленных констант и в том числе соответствующего блока программы FEDGROUP-R)
- 4) расчет программой SUPERTOG /25/ на основе E4GP, MAT=1030
- 5) программой LIBCOM /23/ на основе групповых констант для отдельных изотопов (IN = 132,...,137 в /10/) подготовлены константы для естественной смеси, обозначение IN = 144 в /10/ (в таблицах E4MLX)
- 6) таким же образом как в 5), но с учетом только изотопов Gd 155 и Gd 157, обозначение IN =145 в /10/ (в таблицах E4MLX5,7).

В наборах констант описанных в 5) и 6) отсутствуют коэффициенты самоэкранировки, наборы подготовлены только для сравнения групповых сечений.

Наборы констант описанные в 3) и 4) сделаны тоже только для сравнения и проверки, нет программы связи для их включения в библиотеку /10/, подготовленную программой LIBCOM.

## 5. СРАВНЕНИЕ РАЗНЫХ НАБОРОВ ГРУППОВЫХ СЕЧЕНИЙ

Для объяснения связи между системами групповых границ ВНАБ и THSIG в таблице 3 приводятся групповые границы системы THSIG.

Видно, что несколько нижеэнергетических групп системы ВНАБ лежит уже в области групповой системы THSIG. При использовании полной системы THSIG (43 групп) является последующей 22-ая группа системы ВНАБ. В 16-ой группе системы ВНАБ приводится значение сечения при энергии 0.0253 эВ, которая входит в 6-ую группу системы THSIG. Значит, сравнения выполненные для нижних групп системы ВНАБ возможно использовать одновременно для качественного обсуждения констант в системе THSIG.

Таблица 3 Верхние границы групп системы TBSIG

гр.	/эВ/	гр.	/эВ/	гр.	/эВ/	гр.	/эВ/
1	0.002	12	0.08	23	0.4048	34	1.067
2	0.005	13	0.095	24	0.465	35	1.087
3	0.01	14	0.11	25	0.625	36	1.12
4	0.015	15	0.14	26	0.75	37	1.15
5	0.021	16	0.18	27	0.85	38	1.25
6	0.027	17	0.22	28	0.91	39	1.4
7	0.034	18	0.25	29	0.95	40	1.55
8	0.042	19	0.28	30	0.975	41	1.72
9	0.05	20	0.30	31	1.0	42	1.855
10	0.058	21	0.32	32	1.025	43	2.15
11	0.067	22	0.35	33	1.045		

5.1. Сравнение групповых сечений радиационного захвата для естественной смеси гадолиния

Сравнение значений для некоторых групп системы БНАВ для всех подготовленных наборов групповых констант приводится в таблице 4.

Сначала интересно сравнить два набора констант основанных на ENDL-78. Константы вычисленные программой FEDGROUP-R совпадают с константами из БНАВ 78 (отклонение меньше 0.4 %), но за исключением 26-ой группы. Значения сечений при энергии 0.0253 эВ существенно отклоняются, в БНАВ 73 оно на 18% ниже значения из ENDL-78. Проведение этого изменения и его причина в [21] не комментированы.

Таблица 4 Групповые сечения радиационного захвата для гадолиния /Бери/

Группа БНАВ	БНАВ-78	ENDL-78 FEDGR,-R	ENDF/B-IV GP MAT=1030		ENDF/B-IV FP, FEDGR,-R	
			L-R-C	FEDGR,-R	E4MIX	E4MIX5,7
12	2.862	2.862	3.695	3.686	2.069	1.577
13	4.352	4.352	6.092	6.095	3.861	2.974
14	8.088	8.088	8.219	8.184	12.02	10.48
18	30.35	30.34	24.91	24.83	26.23	25.34
19	106.40	106.49	28.48	28.48	66.82	24.97
20	84.45	84.50	50.19	50.19	64.94	64.07
21	42.98	42.97	39.04	39.04	35.57	35.30
22	158.77	158.55	147.2	147.2	149.9	149.6
23	53.46	53.45	43.73	43.75	47.01	46.59
24	125.5	125.5	79.06	79.03	83.34	82.73
25	1109	1109	564.6	564.7	571.0	570.1
26	37 340	45 670	49 401	49 200	49 017	49 014

Константы подготовленные программами L-R-G и FEDGROUP-R на основе E4GP, MAT=1030 хорошо совпадают (результат L-R-G в 26-ой группе является среднегрупповой величиной в интервале  $\langle 0.0250, 0.0256 \rangle$  эВ с весом 1/E), результаты программы SUPERTOС (в таблице не приводятся) практически тоже одинаковые.

На основе общего сравнения можно сказать:

- а) Существенно отличается информация из ENDL 78 и ENDF/B-IV.
- б) Данные из ENDF/B-IV GP относительно хорошо соответствуют данным из ENDF/B-IV FP, более существенное отклонение только в области групп 19,20 системы БНАВ.
- в) За исключением 19-ой группы сечение радиационного захвата в естественной смеси гадолиния хорошо представлено сечением захвата только на ядрах изотопов Gd 155 и Gd 157. В 19-ой группе действуют большие сечения (одновременно с существенным содержанием в естественной смеси) изотопов Gd 156 и Gd 158.

## 5.2. Сравнение групповых сечений упругого рассеяния для естественной смеси гадолиния

При сравнениях разных наборов групповых констант основной интерес конечно был сосредоточен на сечении радиационного захвата. Сравнения сечений упругого рассеяния проводились более для убеждения в правильном ходе программы FEDGROUP-R. Однако в этих сравнениях встретились некоторые заметные отклонения, пояснение которых потребовало более подробного анализа. На основе анализа установлено с точки зрения формата нестандартное определение данных в ENDF/B-IV GP, MAT=1030 и некоторые особенности в обработке данных в разных программах.

Из сравнения групповых сечений упругого рассеяния вычисленных программами FEDGROUP-R (в следующем F,-R) и L-R-G для MAT=1030, E4GP (Таб. 5) видно, что в резонансной области значения заметно отклоняются и отклонение почти постоянно - результаты F,-R приблизительно на 5.45 барн выше результатов L-R-G. Поэтому сделан еще расчет программой SUPERTOС, результаты которой совпадают с L-R-G. Сравнение с групповыми константами E4MIX (результат комбинации групповых констант для отдельных изотопов, подготовленных на основе E4FP) не приводит к утверждению в ни одном из отличающихся результатов.

Таблица 5 Групповые сечения упругого рассеяния для гадолиний /барн/

Группа БНАВ	ENDF/B-IV GP MAT=1030			Разница (FEDGR,-R)- (L-R-G)	ENDF/B-IV FP, FEDGR,-R		ENDL-78 FEDGR,-R
	FEDGR,-R	L-R-G	SUPERTOС		E4MIX	E4MIX5,7	
12	10.41	10.39	10.41	0.02	23.87	6.484	12.96
13	10.88	10.86	10.88	0.02	28.98	8.632	13.53
14	10.71	10.71	10.70	0	29.59	11.37	13.79
17	11.63	11.65	11.63	-0.02	32.15	16.59	14.90
18	10.81	10.32	10.40	0.49	11.94	9.349	10.88
19	11.18	5.718	5.703	5.462	11.03	3.134	28.69
20	15.88	10.41	10.39	5.470	10.25	8.172	21.52
21	8.399	2.930	2.928	5.469	3.95	1.652	11.16
22	10.05	4.586	4.572	5.464	7.124	4.789	13.95
23	8.139	2.673	2.668	5.446	4.112	1.763	14.76
24	10.59	5.138	5.110	5.452	6.470	4.115	12.0
25	18.60	13.16		5.44	15.20	12.84	12.0
26	173.0	(165.5)		(5.45+2.05)	207.1	204.8	12.0

Объяснение можно найти в способе описания резонансной области материала MAT=1030 в E4GP. В формате ENDF/B, в случае материала состоящего из нескольких изотопов, данные определяющие сечения в резонансной области представлены в виде последующих секций данных для отдельных изотопов. Секция данных для одного изотопа содержит значения спина и радиуса ядра изотопа, его содержание в составе материала и потом параметры резонансов. В случае материала MAT=1030 для резонансной области приводятся только две секции данных, для изотопов Gd 155 и Gd 157. (Надо еще заметить, что поправка к сечению восстановленному на основе резонансов в случае MAT=1030 нулевая во всей резонансной области). Такое представление вероятно достаточно хорошо определяет поведение сечения захвата гадолиния (как было видно в предыдущем разделе). Однако на всякий случай является нарушением правил формата ENDF/B, так как в /27/ подчеркнуто, что необходимо всегда приводить секции данных для всех изотопов даже в случае, когда для некоторых изотопов вообще не приводятся параметры резонансов (причиной является определение спина, радиуса и содержания в смеси для всех изотопов входящих в состав материала).

На основе этого установления возможно было ожидать, что меньшие значения сечений вычисленных программами L-R-G (и SUPERLOG) возникали учетом потенциального рассеяния только на ядрах Gd 155 и Gd 157 (значит, отсутствует относительный вклад от ядер изотопов Gd 154, 156, 158 и Gd 160). Эта предпосылка воплотилась. Сечение потенциального рассеяния на гадолинии в этой энергетической области практически постоянно и имеет значение 7.862 барн (на основе радиуса ядра  $0.791 \text{ см}^{-12}$  - значение из ENDF/B-IV FP, одинаковое для всех изотопов). Общему содержанию изотопов Gd 155 и Gd 157 30.45% соответствует сечение 2.394 барн и разница 5.468 барн хорошо соответствует установленному отклонению результатов F.-R и L-R-G.

Значит, имеются групповые сечения упругого рассеяния

- 1) учитывающие только рассеяние на ядрах изотопов Gd 155 и Gd 157 (результаты L-R-G и SUPERLOG)
- 2) учитывающие потенциальное и резонансное рассеяние на ядрах изотопов Gd 155 и Gd 157 и только потенциальное рассеяние на ядрах остальных изотопов смеси (результаты F.-R).

Можно ожидать, что значения 1) будут меньше правильных значений. Что касается значений 2), оценка уже не так однозначная, так как общий вклад не учтенных резонансов изотопов Gd 154, 156, 158, 160 в сечение упругого рассеяния может оказаться или положительным или отрицательным в зависимости от энергии. На основе результатов обозначенных E4MIX можно предполагать, что правильные значения будут находиться между 1) и 2), но надо отметить, что в E4MIX входит более полная информация о резонансных параметрах даже для изотопов Gd 155 и Gd 157, чем в 1) и 2). (В ENDF/B-IV FP приводится 38 резонансов для Gd 155 и 56 резонансов для Gd 157, между тем как в ENDF/B-IV GP для материала MAT=1030 для оба изотопа вместе только 29 резонансов, иногда не полностью одинаковых с соответствующими резонансами в E4FP).

Если предполагается концентрация окиси гадолиния в топливе до пяти процентов (в начальном состоянии), возможно пренебречь упругим рассеянием на гадолинии, но только за исключением тепловой области, где микросечения упругого рассеяния на гадолинии и на остальных составляющих топлива будут приблизительно такого же порядка. Поэтому нельзя вообще пренебречь разницей в значениях сечения упругого рассеяния при энергии 0.0253 эв между ENDL-78 (и на ENDL-78 основанными значениями в BNAE 78) и ENDF/B-IV. Отклонение возникает вследствие того, что при подготовке данных для упругого рассеяния в ENDL-78 не учитывался вклад самых низких (по энергии) резонансов изотопов Gd 155 и Gd 157, которые приводятся в ENDF/B-IV (таб. 6) (между тем как при подготовке данных для радиационного захвата вклад этих резонансов учитывался).

Таблица 6 Параметры первых резонансов изотопов Gd 155 и Gd 157

	Gd 155	Gd 157
$E_r$ /эВ/	0.0268	0.0314
$f$	0	0
$J$	2	1.5
$\epsilon$	0.625	0.5
$\Gamma$ /эВ/	0.1081	0.10659
$\Gamma_n$ /эВ/	0.000104	0.00059
$\Gamma_f$ /эВ/	0.108	0.106

Отклонение в  $\sigma_2$  в 26-ой группе (таб. 5) между F.-R и L-R-G 2.05% (кроме уже объясненного отклонения 5.45) правдоподобно возникает вследствие того, что результат L-R-G представляет собой среднегрупповое значение в интервале  $\langle 0.0250, 0.0256 \rangle$  эВ с весом  $1/E$ .

На основе сравнения можно сказать:

- Существенно отличается информация из ENDL-78 и ENDF/B-IV.
- Относительная точность совпадения групповых сечений упругого рассеяния основанных на E4GP и E4FP хуже чем в случае радиационного захвата.
- Сравнение E4MIX и E4MIX5,7 показывает, что в тепловой области сечение упругого рассеяния для природной смеси с удовлетворительной точностью возможно представить сечением рассеяния только на ядрах изотопов Gd 155 и Gd 157. В надтепловой области относительный вклад остальных изотопов гадолиния становится большим, но общий вклад всего гадолиния в макросечение упругого рассеяния среды (топлива) в этой области уже не существенный.

### 5.3. Сравнение групповых констант для отдельных изотопов гадолиния

Сравнение констант хотя бы для изотопов Gd 155 и Gd 157 с результатами программ LINEAR-RECENT-GROUPE невозможно было осуществить, так как программа LINEAR (версия 83-2 и тоже 85-1) не работает успешно в случае соответствующих наборов данных. Причиной может быть какая то ошибка формата, которую однако трудно было бы установить без подробного анализа входных процедур программы.

На основе сравнения результатов FEDGROUP-R с другими программами для естественной смеси гадолиния и на основе хороших результатов раньше сделанных сравнений для других материалов /28,29/ предполагаем, что константы подготовленные программой FEDGROUP-R соответствуют информации из ENDF/B-IV.

Только перед завершением работы над этим отчетом мы познакомились с работой /34/, в которой опубликованы 26-групповые сечения радиационного захвата осколков деления (в том числе Gd 154, ..., Gd 158) подготовленные на основе ENDF/B-IV. Сравнение с нашими результатами показало существенное отклонение в 25-ой группе системы БНАБ. Для объяснения этого положения был выполнен ряд независимых от программы FEDGROUP-R тестовых расчетов. На основе этих расчетов мы еще больше уверены в правильности результатов программы FEDGROUP-R и по нашему мнению некоторые константы приведенные в /34/ требуют дополнительного анализа.

В таблице 7 приводятся результаты FEDGROUP-R и /34/ для 25-ой группы БНАБ и отклонение (в процентах) /34/ от FEDGROUP-R. Ясно, что отклонение для Gd 157 существенно,

но с точки зрения проверки программы представляет интерес тоже отклонения для  $Gd\ 156$  и  $Gd\ 158$ . Для проверки были аналитически вычислены все интегралы в 25-ой группе и результаты приводятся в следующем столбце таблицы 7. Аналитическое интегрирование для сечения представленного резонансными параметрами выполнено с помощью формулы из /23/; Эта формула дает аналитическое выражение для интеграла

$$\int_{\epsilon}^{\infty} \sigma_x(E) \frac{dE}{E}, \text{ где } \sigma_x(E)$$

сечение захвата или деления определенное формулой Брейта - Вигнера для  $\ell=0$  ( $s$ -резонанс). Учитывался вклад всех резонансов приведенных в ENDF/B-IV. Все эти резонансы удовлетворяют условию  $\ell=0$  за исключением одного резонанса  $Gd\ 156$  ( $E=33.23$  эВ,  $\ell=1$ ), но можно убедиться в том, что вклад этого резонанса в сечение 25-ой группы не превышает 0.003 барн. Поточечно в ENDF/B-IV описанная поправка для изотопов гадолиния определена в  $\log.\log$  координатах и тогда интеграл  $\int \sigma(E) \frac{dE}{E}$  можно вычислить опять аналитически. Значит, результаты аналитического интегрирования приведенные в таблице 7 можно считать точными, результаты FEDGROUP-R с ними хорошо совпадают. (В последнем столбце таблицы приводятся результаты FEDGROUP-R, когда учитывается вклад только 10 ближайших резонансов).

Таблица 7: Среднегрупповое значение радиационного захвата в 25-ой группе ВНАБ (NRES максимальное число учитываемых резонансов; NRES= 1000 все резонансы учитываются)

Материал	FEDGROUP-R NRES=1000	/34/	/34/-FEDGR.	Аналитически интегрировано	FEDGROUP-R NRES=10
			FEDGR. /процент/		
$Gd\ 154$	24.33	23.5	-3		
155	749.3	721.	-4		
156	0.429	0.272	-40	0.425	0.403
157	2934.2	5850.	+100	2921.9	2933.0
158	0.723	0.487	-30	0.720	0.704

Результаты FEDGROUP-R и /34/ относительно хорошо совпадают в группах 1-24 и в группе 26-ой. По информации из /35/, где более подробно описана подготовка библиотеки /34/, проводились сравнения сечений в тепловой точке (26-ая группа) и резонансных интегралов с данными комментариев ENDF/B-IV. Но так как нижний предел резонансного интеграла принимается 0.5 эВ, ясно, что данные в 25-ой группе в эти сравнения никаким образом не входили. По нашему мнению целесообразно проверить правильность работы программ использованных в /34/ с учетом установленных отклонений.

## 6. ЗАКЛЮЧЕНИЕ

Предварительную оценку подготовленных констант надо провести из разных точек зрения и поэтому результирующая рекомендация на этом уровне (значит перед широким применением констант к расчетам и анализом их результатов) может оказаться не однозначной.

## 6.1 Групповая система

Из таблиц 3 видно, что связь систем **THSIG** и **BNAB** возможно сделать в разных точках энергии. Если предположим связь при энергии 2.15 эВ, значит использование целой системы **THSIG** и 22 группы **BNAB**, потом на основе рисунков можно сделать вывод, что подготовленные константы хорошо представляют ход сечений в области самых низких по энергии резонансов **Gd 155** и **Gd 157** (таб. 6), так как эта область входит в тонкую групповую систему **THSIG**. Однако уже следующие резонансы находятся в области относительно широких групп **BNAB**, информация о детальном ходе сечений теряется, резонансная структура учитывается посредством коэффициентов самоэкранировки.

В случае потребности в более подробном представлении сечений в резонансной области, возможно использовать точечное описание сечений вычисленное программой **FEGGROUP-R**, или непосредственно или для подготовки групповых констант в более тонкой системе границ. Однако для последующей обработки таких данных и их использование в расчетах надо было бы дополнить программные средства.

## 6.2 Источник использованных информации о сечениях

Было показано, что на уровне основных библиотек оцененных ядерных данных существует два заметно отличающихся источника, а именно **ENDL-78** и **ENDF/B-IV**. Комментарий к оценке данных для гадолиния в **ENDL 78** нет в нашем распоряжении, но имея в виду, что **ENDF/B-IV** дает более подробную информацию о сечениях (параметры разрешенных резонансов) и на основе проведенных сравнений, мы считаем правильной информацией из **ENDF/B-IV**.

Как уже было отмечено, наиболее современными из использованных данных являются данные для отдельных изотопов гадолиния в **E4GP** и представляют собой более полную и подробную информацию в сравнении с данными для естественной смеси гадолиния в **E4GP (MAT=1030)**. Поэтому на первом месте рекомендуется использование групповых констант для отдельных изотопов (что на всякий случай необходимо при расчетах выгорания) по крайней мере в более точных расчетах начального состояния топлива. В докладе /17/ констатируются хорошие результаты расчетов с использованием данных **E4GP** (но в другой, приблизительно более тонкой групповой системе). В пробных расчетах начального состояния несомненно достаточно будет использовать константы для естественной смеси на основе **E4GP**, **MAT= 1030**.

Новые информации могут появиться на основе данных из **JENDL-2 /31/** и особенно интересно будет сравнение данных в **ENDL-84 /32/** с предшествующей версией **ENDL-78**. Библиотеки **JENDL-2** и **ENDL-78** уже с прошлого года доступны посредством **BARATO**, но они пока нет в распоряжении нашего института.

## 6.3 Учет резонансной самоэкранировки сечений

Одной из основных предпосылок использованным при выводе методе подготовки микроскопических сечений среды на основе библиотеки констант типа **BNAB** с коэффициентами самоэкранировки является предпосылка независимого от энергии в пределах группы сечения разбавления данного изотопа (при подготовке самоэкранированных микроскопических сечений данного изотопа предполагается микроскопическое сечение всех остальных изотопов среды постоянно в пределах группы). Эта предпосылка особенно явно нарушается, если некоторые сильные резонансы разных изотопов среди находятся в той же энергетической группе или даже перекрываются. Из рисунков видно, что такая ситуация выполняется в случае **Gd 155** и **Gd 157**. Из этой точки зрения набор групповых констант для естественной смеси гадолиния (основанный на **E4GP**, **MAT=1030**) лучше учитывает эффекты в резонансной области,



так как при вычислении коэффициентов резонансной самоэкранировки резонансы изотопов  $Gd\ 155$  и  $Gd\ 157$  учитывались совместно (как будто резонансы одного материала) и поэтому использование этих констант в отличие от констант для отдельных изотопов) несколько лучше удовлетворяет выше упомянутой предпосылке.

В качестве примера можно привести сравнение макроскопических сечений среды созданной из  $UO_2$  (с 3% обогащением  $U\ 235$ ) и 5%  $Gd_2O_3$ . Хотя микроскопические сечения захвата в бесконечном разбавлении в 22-ой группе для естественной смеси гадолиния и для комбинации отдельных изотопов ( $E4MIX$  в таб. 4) отличаются только на 2%, макроскопическое сечение захвата данной среды в 22-ой группе при использовании констант для отдельных изотопов на 7% выше чем при использовании констант для естественной смеси ( $0.150$  и  $0.140\text{ см}^{-1}$  соответственно).

Если захват в резонансной области гадолиния заметно будет влиять на интересующие нас результаты расчетов, тогда более целесообразно использовать константы подготовленные для природной смеси гадолиния, что конечно не возможно сделать при расчетах выгорания. Вообще возможно было бы на основе данных для отдельных изотопов в  $E4FP$  подготовить совместный файл данных и потом рассчитывать многогрупповые микроконстанты для смеси с разными относительными весами отдельных изотопов (или по крайней мере разным отношением  $Gd\ 155$  и  $Gd\ 157$ ). Но как видно из таблицы 2, резонансные области отдельных изотопов не одинаковые, что практически исключает выполнение такой задачи программой  $FEDGROUP-R$  в настоящем состоянии.

ЛИТЕРАТУРА

- /1/ Залески К.: Руководство по программе MICROME-02 для расчета локального выгорания, **ОЈУ 6880-R, A, 1984, на чеш. языке**
- /2/ Аббаган Л.П. и др.: Групповые константы для расчета ядерных реакторов, Атомиздат, Москва 1964
- /3/ Лемани М.: Руководство по программе THESEUS-80, Ас 5034/Dok., Шкода Пльзень, 1981, на чеш. яз.
- /4/ Аббаган Л.П., Едкевич М.С.: Библиотека нейтронных данных для расчета тепловых реакторов, отчет 7-ого симпозиума ВМК, Добришковице, 1978
- /5/ Vertes P.: FEDGROUP - A Program System ..., INDC (HUN)-13, INDC (HUN)-15/L, IAEA NDS 1976
- /6/ Vertes P.: FEDGROUP-3 - A Program System ..., KFKI-1981-34, KFKI-1983-108
- /7/ Голубарх А.: FEDGROUP-R - версия программы в ИЯИ Рех, **ОЈУ 7349-R, 1985**
- /8/ Голубарх А., Рочек Й.: Библиотека групповых данных типа ВНАБ ..., **ОЈУ 5438-R, 1980**
- /9/ Голубарх А.: Библиотека групповых констант типа ВНАБ для актинидов, в сборнике конференции Шкода Пльзень, 1984, на чеш. яз.
- /10/ Голубарх А.: Библиотека 26-групповых сечений подготовленных на основе файла ENDF/B-IV, **ОЈУ 7461-R, 1985**
- /11/ Geel B., Krieg B.: Status of the Nuclear Data Library KEDAK-3 October 1975, KFK 2.
- /12/ Hoverton R.J.: The LL Evaluated Nuclear Data Library, UCRL-50400 Series, t62 IAEA-NDS-11, Rev. 1
- /13/ Garber D. et al.: Data Formats and Procedures ..., ENL-NCS-50496 (ENDF-102), 1971
- /14/ Bertram W.K. et al.: A Fission Product Group Cross Section Library, AAEC/E214, 1971
- /15/ Сохор К.: Использование гадолиния в качестве выгорающего поглотителя в топливе ядерных реакторов с водяным охлаждением под давлением, **ОЈУ 7210-R, T, 1985, на чеш. яз.**
- /16/ Witkopf W.A., Korthamer J.D.: Gadolinia Fuel Neutronics Model ..., Trans, Am. Nucl. Soc., Vol. 41, p. 592 (1982)
- /17/ Crump M.W. et al.: Modeling Features in the Analysis of Gadolinia-Bearing Fuel, Trans, Am. Nucl. Soc., Vol. 41, p. 593, (1982)
- /18/ Seelman-Eggebert W. et al.: Nuklidkarte, KFK, 1981
- /19/ Mughabghab S.F., Garber D.I.: Neutron Cross Sections, ENL-325, 3rd edition, 1973

- /20/ Holden N.E.: *Pure and Applied Chemistry* 52, 2349 (1980)
- /21/ Абагян Л.П. и др.: Групповые константы для расчета реакторов и защиты, Москва, Энергоатомиздат, 1981
- /22/ Базазян Н.О. и др.: АРАМАКО-2F- система обеспечения константами ..., ИФМ, Москва, 1976
- /23/ Голубарх А.: Программа LIBCOM ..., ЁJV 5715-R, 1981, на чет. яз.
- /24/ Cullen D.E.: Program LINEAR, RECENT, GROUPIE, UCRL-5C400, Vol. 17, Part A,C,D (1977)
- /25/ JAERI-M-6935
- /26/ Cullen D.E. et al.: The IAEA Cross Section Processing Code Verification Project ..., INDC/P (83)-40, 1983
- /27/ Kinsey R.: Data Formats and Procedures for the ENDF, BNL-KCS-50496 (ENDF-102), 2nd edition, 1979
- /28/ Голубарх А.: 26-групповые константы типа БНАВ для родия Rh 103, ЁJV 7344-F,R, 1985
- /29/ Голубарх А.: Подготовка групповых сечений для расчета быстрых реакторов в ИЯИ Ржек, ЁJV 7342-R, 1985
- /30/ Mughabghab S.F. et al.: Neutron Cross Sections, Vol. 1 Neutron Resonance Parameters and Thermal Cross Sections, Academic Press, 1981
- /31/ JAERI-M-84-103
- /32/ IAEA-NDS-11, Rev. 4
- /33/ Рочек Ё.: Замечание по интегрированию нейтронных сечений в резонансной области, отчет 13-ого симпозиума ВМК, РСР, 1984
- /34/ Гусев А.В., Писарев П.В. и др.: Библиотека групповых нейтронных сечений радиационного захвата осколков деления, Вопросы атомной науки и техники, серия ядерных констант, вып. 6 (44), 1981)
- /35/ Гусев А.В., Писарев П.В. и др.: Получение 26-групповой библиотеки сечений осколков деления по данным библиотекам ENDF/B-IV, Вопросы атомной науки и техники, серия физика и техника ядерных реакторов, вып. 4 (33), 1983

ТАБЛИЦЫ ГРУППОВЫХ КОНСТАНТ

Для отдельных изотопов и для естественной смеси гадолиния были вычислены полные наборы констант типа ENAB включая коэффициенты самоэкранировки и тоже 43 групповые константы в тепловой области для системы TBSIG. Все эти константы хранятся в составе библиотек на лентах и можно сделать их полную распечатку. Здесь мы считаем целесообразным привести только часть такой распечатки, основные константы в системе ENAB. Определение величин ясно из комментариев распечатки.

ID. NUMBER=	102		COMMENT: GD E4		
GROUP	TOTAL	CAPTURE	ELASTIC	FISSION	INELASTIC
1	5.0060E 00	4.1410E-03	2.4734E 00	0.0	2.5285E 00
2	5.4765E 00	1.1530E-02	2.8251E 00	0.0	2.6390E 00
3	6.2125E 00	3.1674E-02	3.5087E 00	0.0	2.4722E 00
4	6.8541E 00	8.3526E-02	4.0149E 00	0.0	2.7557E 00
5	7.2135E 00	1.1306E-01	4.2674E 00	0.0	2.7330E 00
6	7.2973E 00	1.0480E-01	5.0543E 00	0.0	2.1382E 00
7	7.6160E 00	1.6897E-01	6.2449E 00	0.0	1.2027E 00
8	8.2342E 00	3.6444E-01	7.3324E 00	0.0	5.3717E-01
9	9.1597E 00	8.5457E-01	8.4155E 00	0.0	8.9641E-02
10	1.0368E 01	1.1264E 00	9.2417E 00	0.0	0.0
11	1.1597E 01	1.7105E 00	9.6863E 00	0.0	0.0
12	1.4091E 01	3.6837E 00	1.0405E 01	0.0	0.0
13	1.6977E 01	6.0940E 00	1.0882E 01	0.0	0.0
14	1.8890E 01	8.1844E 00	1.0705E 01	0.0	0.0
15	2.6058E 01	1.4292E 01	1.1766E 01	0.0	0.0
16	2.8897E 01	1.7662E 01	1.1235E 01	0.0	0.0
17	3.9249E 01	2.7617E 01	1.1632E 01	0.0	0.0
18	3.5646E 01	2.4832E 01	1.0814E 01	0.0	0.0
19	3.9654E 01	2.8475E 01	1.1179E 01	0.0	0.0
20	6.6074E 01	5.0190E 01	1.5883E 01	0.0	0.0
21	4.7438E 01	3.9039E 01	8.3990E 00	0.0	0.0
22	1.5729E 02	1.4724E 02	1.0046E 01	0.0	0.0
23	5.4890E 01	4.3751E 01	8.1391E 00	0.0	0.0
24	8.9610E 01	7.7024E 01	1.0585E 01	0.0	0.0
25	5.8329E 02	5.6467E 02	1.8597E 01	0.0	0.0
26	4.0372E 04	4.7199E 04	1.7298E 02	0.0	0.0

ID. NUMBER=	104		COMMENT: GD L78		
GROUP	TOTAL	CAPTURE	ELASTIC	FISSION	INELASTIC
1	4.8378E 00	1.6015E-02	2.4544E 00	0.0	2.3074E 00
2	5.3355E 00	2.3645E-02	2.7285E 00	0.0	2.5054E 00
3	6.1742E 00	3.3370E-02	3.5634E 00	0.0	2.9781E 00
4	6.8624E 00	4.7341E-02	4.5778E 00	0.0	2.2357E 00
5	7.1209E 00	7.6625E-02	5.4918E 00	0.0	1.5525E 00
6	7.2245E 00	1.2453E-01	6.3013E 00	0.0	7.0874E-01
7	7.3566E 00	2.0984E-01	6.8581E 00	0.0	2.8662E-01
8	7.8270E 00	3.5616E-01	7.3787E 00	0.0	9.3177E-02
9	9.0531E 00	6.7272E-01	8.3320E 00	0.0	6.8370E-02
10	1.0826E 01	1.1601E 00	9.6602E 00	0.0	6.2189E-03
11	1.3567E 01	1.8200E 00	1.1740E 01	0.0	0.0
12	1.5821E 01	2.8624E 00	1.2959E 01	0.0	0.0
13	1.7882E 01	4.3525E 00	1.3529E 01	0.0	0.0
14	2.1882E 01	8.0860E 00	1.3794E 01	0.0	0.0
15	2.6214E 01	1.2298E 01	1.3917E 01	0.0	0.0
16	3.3848E 01	1.9875E 01	1.3974E 01	0.0	0.0
17	4.5947E 01	3.1045E 01	1.4902E 01	0.0	0.0
18	4.1219E 01	3.0341E 01	1.0878E 01	0.0	0.0
19	1.3519E 02	1.0447E 02	2.8694E 01	0.0	0.0
20	1.0662E 02	8.4300E 01	2.1515E 01	0.0	0.0
21	3.4126E 01	4.2969E 01	1.1157E 01	0.0	0.0
22	1.7250E 02	1.5855E 02	1.3951E 01	0.0	0.0
23	6.8214E 01	5.3653E 01	1.4761E 01	0.0	0.0
24	1.3749E 02	1.2540E 02	1.2000E 01	0.0	0.0
25	1.1208E 03	1.1088E 03	1.2000E 01	0.0	0.0
26	4.5682E 04	4.5670E 04	1.2000E 01	0.0	0.0

ID. NUMBER=		132		COMMENT: 6D154 E4		
GROUP	TOTAL	CAPTURE	ELASTIC	FISSION	INELASTIC	
1	4.3433E 00	3.2229E-03	2.7070E 00	0.0	1.6351E 00	
2	4.0213E 00	2.4929E-02	3.1612E 00	0.0	1.7343E 00	
3	6.0558E 00	1.7196E-01	4.1240E 00	0.0	1.7597E 00	
4	6.4200E 00	3.6173E-01	4.7677E 00	0.0	1.6906E 00	
5	4.0677E 00	3.9913E-01	4.7969E 00	0.0	1.3718E 00	
6	6.0766E 00	3.8971E-01	4.8314E 00	0.0	8.5549E-01	
7	6.0134E 00	3.8491E-01	5.2022E 00	0.0	4.2027E-01	
8	7.0770E 00	4.5658E-01	6.5219E 00	0.0	9.0441E-02	
9	9.0267E 00	5.7003E-01	8.6963E 00	0.0	0.0	
10	1.2755E 01	7.4165E-01	1.1994E 01	0.0	0.0	
11	1.0770E 01	1.1789E 00	1.6502E 01	0.0	0.0	
12	2.5028E 01	2.0948E 00	2.2934E 01	0.0	0.0	
13	3.5433E 01	3.9290E 00	3.1704E 01	0.0	0.0	
14	5.1108E 01	7.5520E 00	4.3550E 01	0.0	0.0	
15	7.3963E 01	1.4239E 01	5.9724E 01	0.0	0.0	
16	7.0167E 01	2.2094E 01	5.7073E 01	0.0	0.0	
17	1.4107E 02	6.7040E 01	7.4020E 01	0.0	0.0	
18	4.8334E 01	3.5785E 01	1.2549E 01	0.0	0.0	
19	1.2903E 02	1.0020E 02	2.2839E 01	0.0	0.0	
20	2.1171E 01	1.8878E 01	2.2933E 00	0.0	0.0	
21	1.0033E 01	7.2485E 00	3.0873E 00	0.0	0.0	
22	1.1071E 01	7.7592E 00	3.3116E 00	0.0	0.0	
23	1.4712E 01	1.1330E 01	3.3817E 00	0.0	0.0	
24	2.0000E 01	1.6590E 01	3.4104E 00	0.0	0.0	
25	2.7753E 01	2.4330E 01	3.4232E 00	0.0	0.0	
26	8.4837E 01	8.5404E 01	3.4331E 00	0.0	0.0	

ID. NUMBER=		133		COMMENT: 6D155 E4		
GROUP	TOTAL	CAPTURE	ELASTIC	FISSION	INELASTIC	
1	4.3715E 00	3.2711E-03	2.6431E 00	0.0	1.7231E 00	
2	4.0683E 00	1.2447E-02	3.1114E 00	0.0	1.8445E 00	
3	6.0971E 00	5.4131E-02	4.0874E 00	0.0	1.9553E 00	
4	6.8139E 00	1.2253E-01	4.5074E 00	0.0	2.1240E 00	
5	6.0676E 00	2.0174E-01	4.1833E 00	0.0	2.0117E 00	
6	6.1065E 00	3.3004E-01	3.9057E 00	0.0	1.8707E 00	
7	6.0789E 00	5.8491E-01	4.4097E 00	0.0	1.9043E 00	
8	7.1894E 00	7.8264E-01	5.7264E 00	0.0	6.8133E-01	
9	9.4632E 00	1.3298E 00	7.9225E 00	0.0	2.1090E-01	
10	1.3085E 01	2.3048E 00	1.0789E 01	0.0	0.0	
11	1.8270E 01	3.9658E 00	1.4304E 01	0.0	0.0	
12	2.5722E 01	7.0394E 00	1.8682E 01	0.0	0.0	
13	3.4044E 01	1.1831E 01	2.4214E 01	0.0	0.0	
14	4.4594E 01	1.3502E 01	3.1002E 01	0.0	0.0	
15	5.4915E 01	1.8442E 01	3.7872E 01	0.0	0.0	
16	7.4177E 01	3.1127E 01	4.5050E 01	0.0	0.0	
17	1.0602E 02	5.2456E 01	5.3565E 01	0.0	0.0	
18	1.3837E 02	9.9321E 01	3.9031E 01	0.0	0.0	
19	1.5003E 02	1.3531E 02	1.4740E 01	0.0	0.0	
20	2.2751E 02	2.0708E 02	1.9837E 01	0.0	0.0	
21	2.4369E 02	2.3618E 02	7.5094E 00	0.0	0.0	
22	8.4044E 02	8.5421E 02	2.4221E 01	0.0	0.0	
23	2.5382E 02	2.5126E 02	2.5628E 00	0.0	0.0	
24	1.4797E 02	1.4340E 02	4.5711E 00	0.0	0.0	
25	7.5804E 02	7.4932E 02	9.3213E 00	0.0	0.0	
26	6.1374E 04	6.1316E 04	5.7996E 01	0.0	0.0	

ID. NUMBER=		134		COMMENT: 6D*56 E4	
GROUP	TOTAL	CAPTURE	ELASTIC	FISSION	INELASTIC
1	4.5974E 00	2.8550E-03	2.7161E 00	0.0	1.4787E 00
2	5.0019E 00	1.5424E-02	3.2032E 00	0.0	1.7033E 00
3	6.1101E 00	6.2527E-02	4.2172E 00	0.0	1.8904E 00
4	6.0139E 00	1.2486E-01	4.7953E 00	0.0	1.8537E 00
5	6.4694E 00	1.7174E-01	5.1620E 00	0.0	1.9359E 00
6	6.1382E 00	1.6240E-01	4.9513E 00	0.0	1.8644E 00
7	6.4708E 00	1.6957E-01	5.4418E 00	0.0	2.0436E-01
8	7.3522E 00	2.0712E-01	6.9246E 00	0.0	2.2756E-01
9	9.7057E 00	2.9024E-01	9.4084E 00	0.0	2.8199E-01
10	1.3679E 01	3.9755E-01	1.3082E 01	0.0	0.0
11	1.8808E 01	5.6969E-01	1.8235E 01	0.0	0.0
12	2.6540E 01	9.6850E-01	2.5592E 01	0.0	0.0
13	3.7829E 01	1.7778E 00	3.4052E 01	0.0	0.0
14	3.5139E 01	2.9058E 00	3.2233E 01	0.0	0.0
15	3.7433E 01	4.0324E 00	3.0862E 01	0.0	0.0
16	1.8945E 01	4.8823E 00	1.7063E 01	0.0	0.0
17	8.0680E 01	2.6137E 01	6.0347E 01	0.0	0.0
18	3.4155E 00	9.7509E-02	3.3180E 00	0.0	0.0
19	1.4223E 02	1.1972E 02	2.2510E 01	0.0	0.0
20	3.1452E 00	2.1637E-01	2.9489E 00	0.0	0.0
21	3.3057E 00	1.4150E-01	3.1642E 00	0.0	0.0
22	3.3914E 00	1.6094E-01	3.2305E 00	0.0	0.0
23	3.5670E 00	2.1314E-01	3.2572E 00	0.0	0.0
24	3.5670E 00	2.7811E-01	3.2689E 00	0.0	0.0
25	3.7031E 00	4.2900E-01	3.2741E 00	0.0	0.0
26	4.7555E 00	1.4772E 00	3.2783E 00	0.0	0.0

ID. NUMBER=		135		COMMENT: 6D*57 E4	
GROUP	TOTAL	CAPTURE	ELASTIC	FISSION	INELASTIC
1	4.4239E 00	3.0240E-03	2.6670E 00	0.0	1.7539E 00
2	5.0377E 00	1.1512E-02	3.1540E 00	0.0	1.8727E 00
3	6.1340E 00	4.8164E-02	4.1112E 00	0.0	1.9744E 00
4	6.0201E 00	1.1134E-01	4.5095E 00	0.0	2.0192E 00
5	6.4799E 00	1.6342E-01	4.4624E 00	0.0	2.1141E 00
6	6.1771E 00	1.9653E-01	4.4562E 00	0.0	1.9244E 00
7	6.2359E 00	2.5306E-01	5.0069E 00	0.0	2.7297E-01
8	7.4845E 00	3.4157E-01	6.3723E 00	0.0	7.5669E-01
9	9.9245E 00	4.2416E-01	8.2455E 00	0.0	4.3479E-01
10	1.3376E 01	1.0937E 00	1.2676E 01	0.0	0.0
11	1.9270E 01	1.8530E 00	1.7417E 01	0.0	0.0
12	2.7183E 01	3.4213E 00	2.3742E 01	0.0	0.0
13	4.0073E 01	7.8155E 00	3.2258E 01	0.0	0.0
14	9.7445E 01	5.4139E 01	4.3710E 01	0.0	0.0
15	2.9244E 02	1.7437E 02	5.8107E 01	0.0	0.0
16	2.0944E 02	1.5493E 02	4.9700E 01	0.0	0.0
17	1.2216E 02	6.6799E 01	5.5346E 01	0.0	0.0
18	9.0821E 01	6.7012E 01	2.2810E 01	0.0	0.0
19	3.7657E 01	3.1580E 01	6.0788E 00	0.0	0.0
20	2.4644E 02	2.1301E 02	3.3450E 01	0.0	0.0
21	5.4727E 00	2.2215E 00	3.4512E 00	0.0	0.0
22	1.5420E 02	1.4837E 02	4.2035E 00	0.0	0.0
23	6.8908E 01	6.0064E 01	8.8644E 00	0.0	0.0
24	4.1699E 02	3.9302E 02	2.1972E 01	0.0	0.0
25	3.0075E 03	2.9342E 03	7.3235E 01	0.0	0.0
26	2.5644E 03	2.5520E 03	1.2535E 03	0.0	0.0

ID. NUMBER=		136		COMMENT: 60-58 E4		
GROUP	TOTAL	CAPTURE	ELASTIC	FISSION	INELASTIC	
1	4.4500E 00	2.4785E-03	2.7079E 00	0.0	1.7377E 00	
2	5.0721E 00	5.4783E-03	3.2197E 00	0.0	1.8470E 00	
3	6.7160E 00	2.0324E-02	4.2419E 00	0.0	1.8439E 00	
4	6.8096E 00	4.7750E-02	4.8731E 00	0.0	1.8427E 00	
5	6.4713E 00	7.1981E-02	5.1894E 00	0.0	1.4290E 00	
6	6.2114E 00	8.4715E-02	5.0370E 00	0.0	1.0297E 00	
7	6.3145E 00	1.0101E-01	5.4031E 00	0.0	6.4139E-01	
8	7.0610E 00	1.3236E-01	7.2247E 00	0.0	2.5521E-01	
9	1.0512E 01	2.0492E-01	9.7033E 00	0.0	1.3543E-02	
10	1.4122E 01	2.8791E-01	1.3835E 01	0.0	0.0	
11	1.9739E 01	3.9689E-01	1.9342E 01	0.0	0.0	
12	2.8221E 01	5.5441E-01	2.1657E 01	0.0	0.0	
13	1.6046E 01	9.6762E-01	1.5079E 01	0.0	0.0	
14	1.7401E 01	2.2404E 00	1.7161E 01	0.0	0.0	
15	3.3706E 01	4.3898E 00	2.9316E 01	0.0	0.0	
16	2.5079E 01	9.5079E 00	1.5582E 01	0.0	0.0	
17	3.4218E 00	5.4373E-01	3.0781E 00	0.0	0.0	
18	3.4948E 00	4.4311E-02	3.4505E 00	0.0	0.0	
19	4.7584E 01	5.9634E 01	7.9495E 00	0.0	0.0	
20	4.0774E 00	1.4843E 00	2.5381E 00	0.0	0.0	
21	3.4257E 00	2.2568E-01	3.2002E 00	0.0	0.0	
22	3.5306E 00	2.5953E-01	3.2711E 00	0.0	0.0	
23	3.4473E 00	3.5174E-01	3.2950E 00	0.0	0.0	
24	3.7052E 00	4.9951E-01	3.3657E 00	0.0	0.0	
25	4.0732E 00	7.2208E-01	3.3102E 00	0.0	0.0	
26	5.8245E 00	2.5169E 00	3.3136E 00	0.0	0.0	

ID. NUMBER=		137		COMMENT: 60-60 F4		
GROUP	TOTAL	CAPTURE	ELASTIC	FISSION	INELASTIC	
1	4.4092E 00	3.6778E-03	2.7291E 00	0.0	1.7054E 00	
2	5.1455E 00	4.1486E-02	3.2320E 00	0.0	1.8720E 00	
3	6.1918E 00	7.9124E-02	4.2305E 00	0.0	1.8427E 00	
4	6.6084E 00	8.8057E-02	5.0361E 00	0.0	1.4247E 00	
5	6.4537E 00	8.7996E-02	5.1380E 00	0.0	1.4274E 00	
6	6.2612E 00	7.7601E-02	5.0574E 00	0.0	1.1261E 00	
7	6.4737E 00	8.1740E-02	5.7490E 00	0.0	6.4295E-01	
8	7.8777E 00	1.0133E-01	7.4999E 00	0.0	2.7864E-01	
9	1.0517E 01	1.6107E-01	1.0329E 01	0.0	2.4609E-02	
10	1.4696E 01	2.2615E-01	1.4470E 01	0.0	0.0	
11	2.0528E 01	2.9901E-01	2.0279E 01	0.0	0.0	
12	2.8952E 01	4.8453E-01	2.2467E 01	0.0	0.0	
13	3.0585E 01	8.0525E-01	3.8720E 01	0.0	0.0	
14	2.0804E 01	9.4105E-01	2.8093E 01	0.0	0.0	
15	3.3831E 01	3.0316E 00	3.0819E 01	0.0	0.0	
16	8.7633E 00	4.2459E 00	4.5171E 00	0.0	0.0	
17	3.1412E 00	2.7840E-02	3.1134E 00	0.0	0.0	
18	3.4641E 00	1.6342E-02	3.4477E 00	0.0	0.0	
19	3.5480E 00	2.2732E-02	3.5253E 00	0.0	0.0	
20	3.5898E 00	3.2776E-02	3.5570E 00	0.0	0.0	
21	3.6187E 00	4.7496E-02	3.5710E 00	0.0	0.0	
22	1.4473E 00	6.9870E-02	3.5774E 00	0.0	0.0	
23	3.6827E 00	1.0237E-01	3.5803E 00	0.0	0.0	
24	3.7317E 00	1.4999E-01	3.5817E 00	0.0	0.0	
25	3.8028E 00	2.2044E-01	3.5823E 00	0.0	0.0	
26	4.3560E 00	7.7313E-01	3.5828E 00	0.0	0.0	

## ГРАФИЧЕСКИЕ ПРЕДСТАВЛЕНИЯ СЕЧЕНИЙ

Рисунки подготовлены отдельным блоком программы **FEDSNOUP-R** на основе точечных представлений сечений вычисленных блоком **11** и хранящихся в рабочих файлах формата **RPOD** на лентах. Сечения для отдельных изотопов вычислены на основе **ENDF/B-IV Fission Products**.



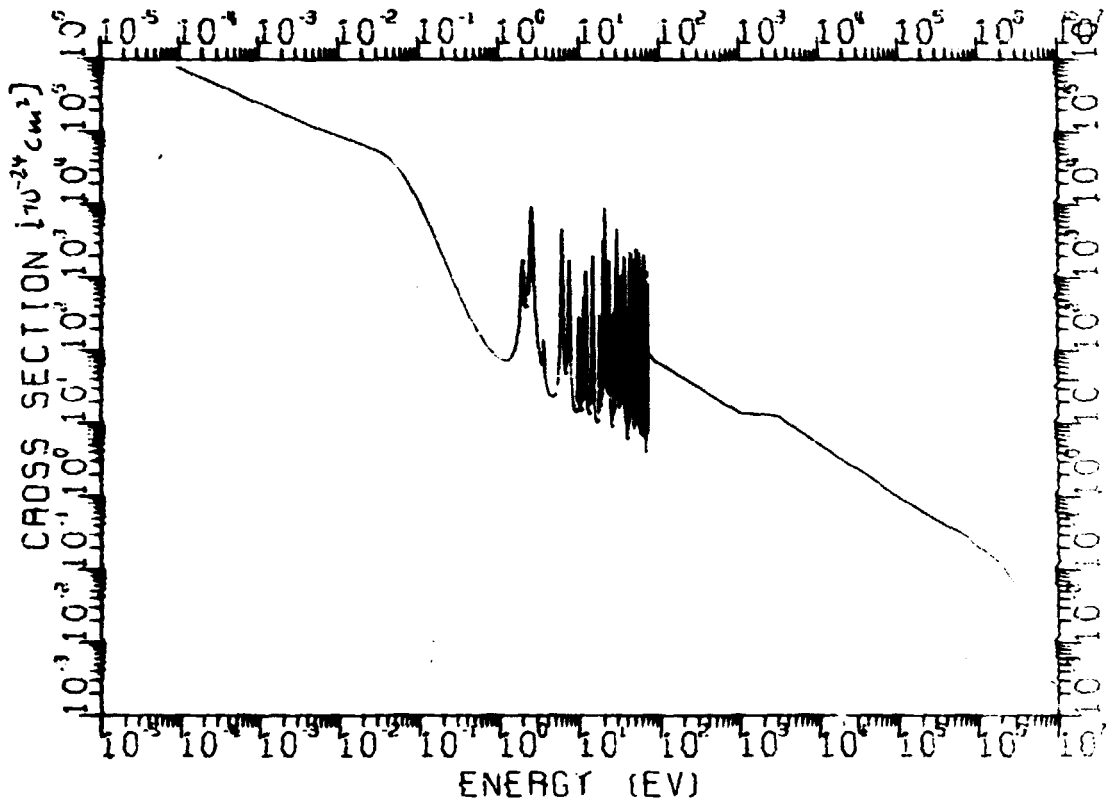


Рис. 1:  $\sigma(n,\gamma)$  Gd 155

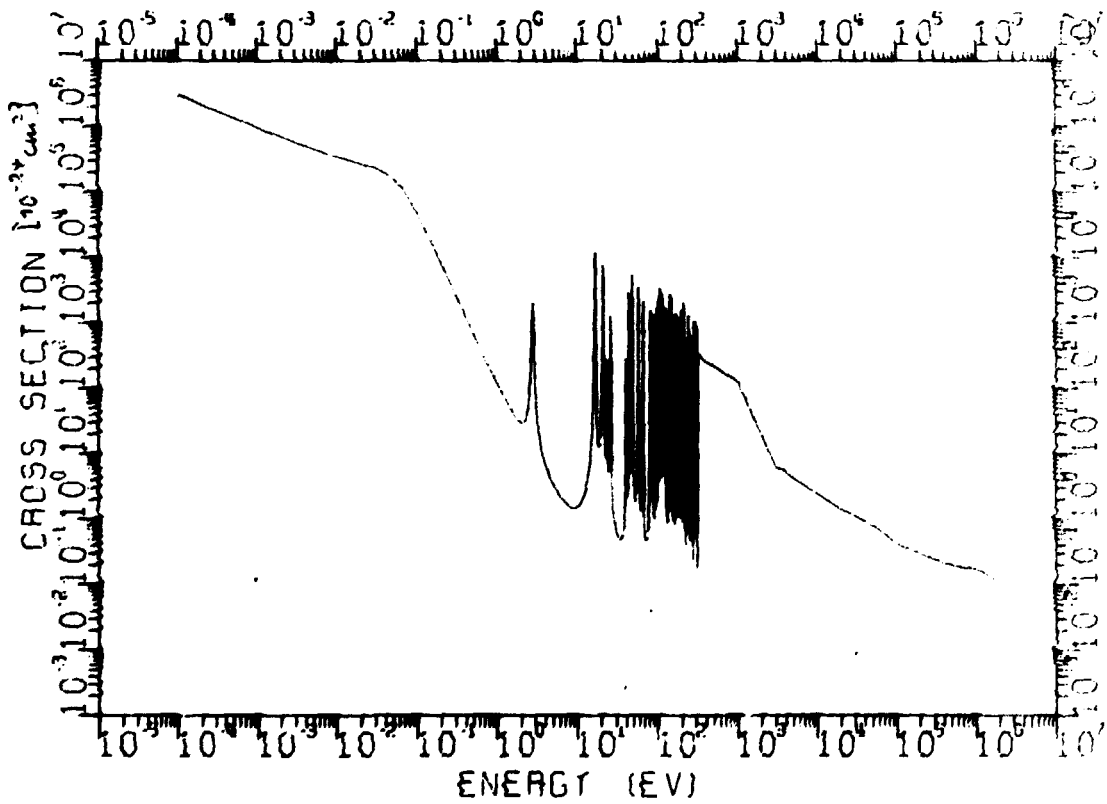
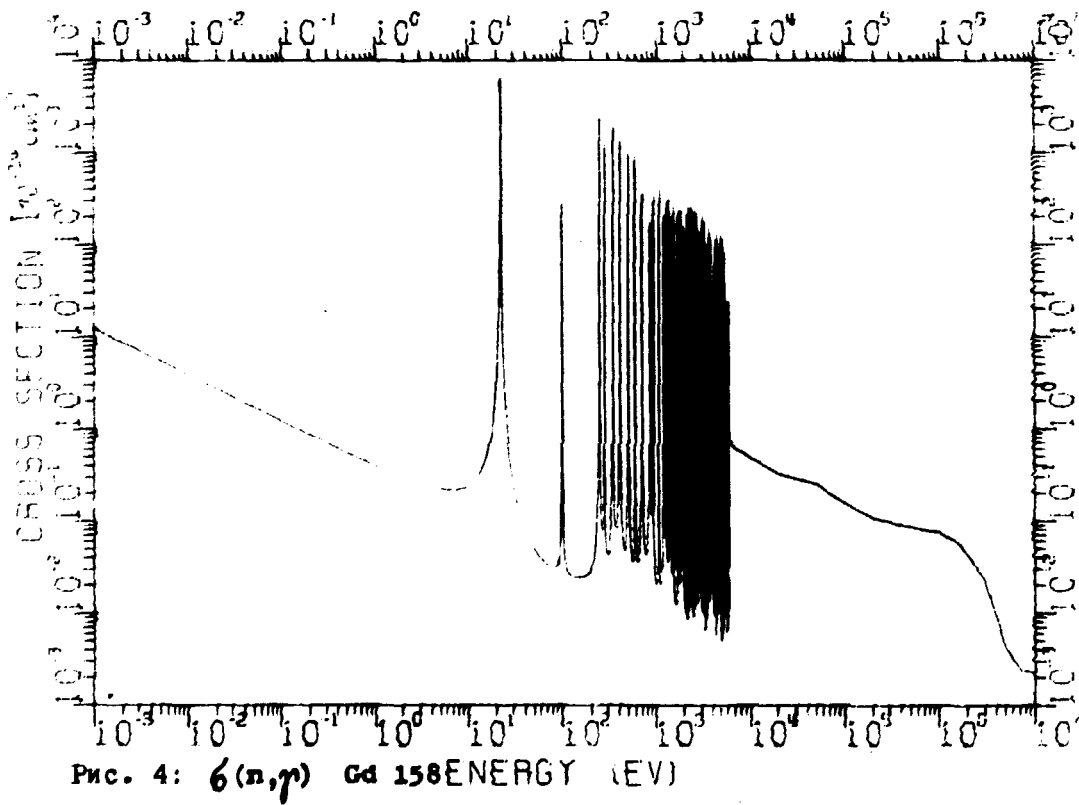
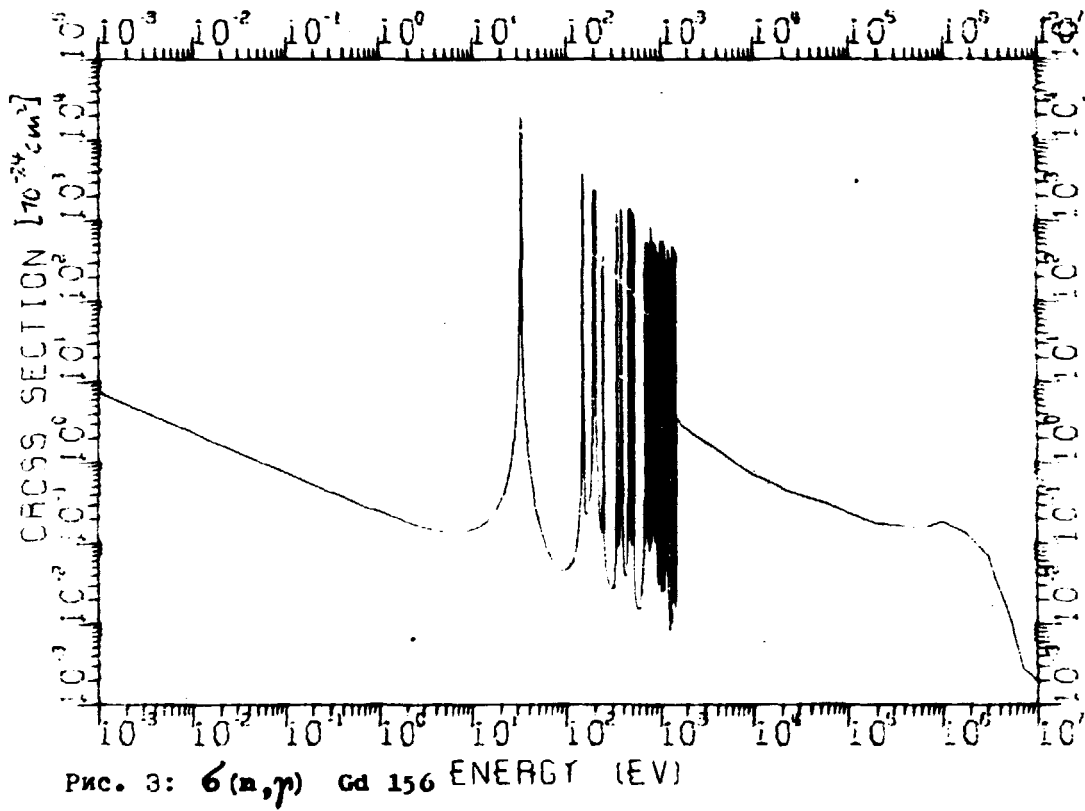
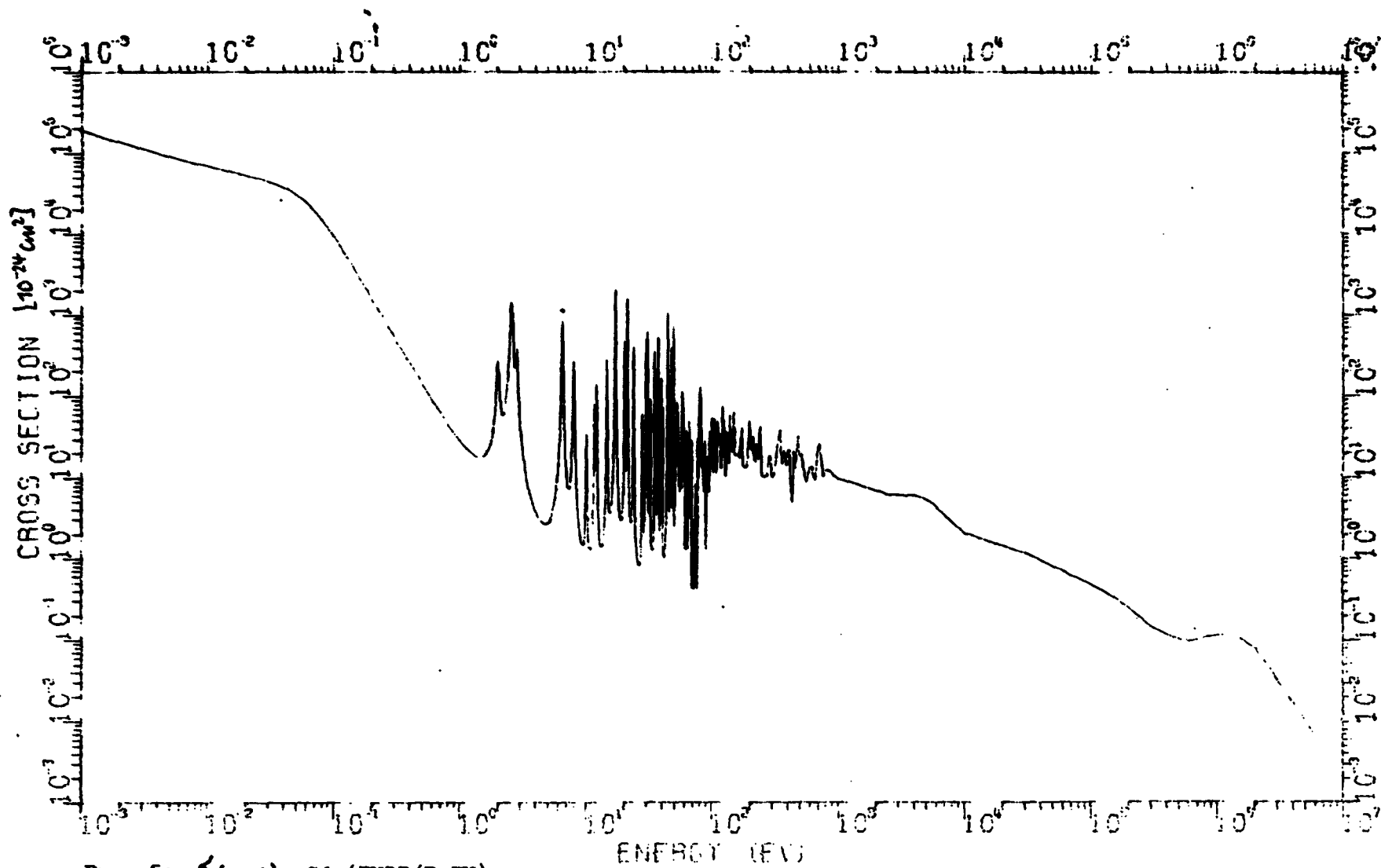


Рис. 2:  $\sigma(n,\gamma)$  Gd 157



Рис. 5:  $\sigma(n, \gamma)$  Gd (ENDF/B-IV)

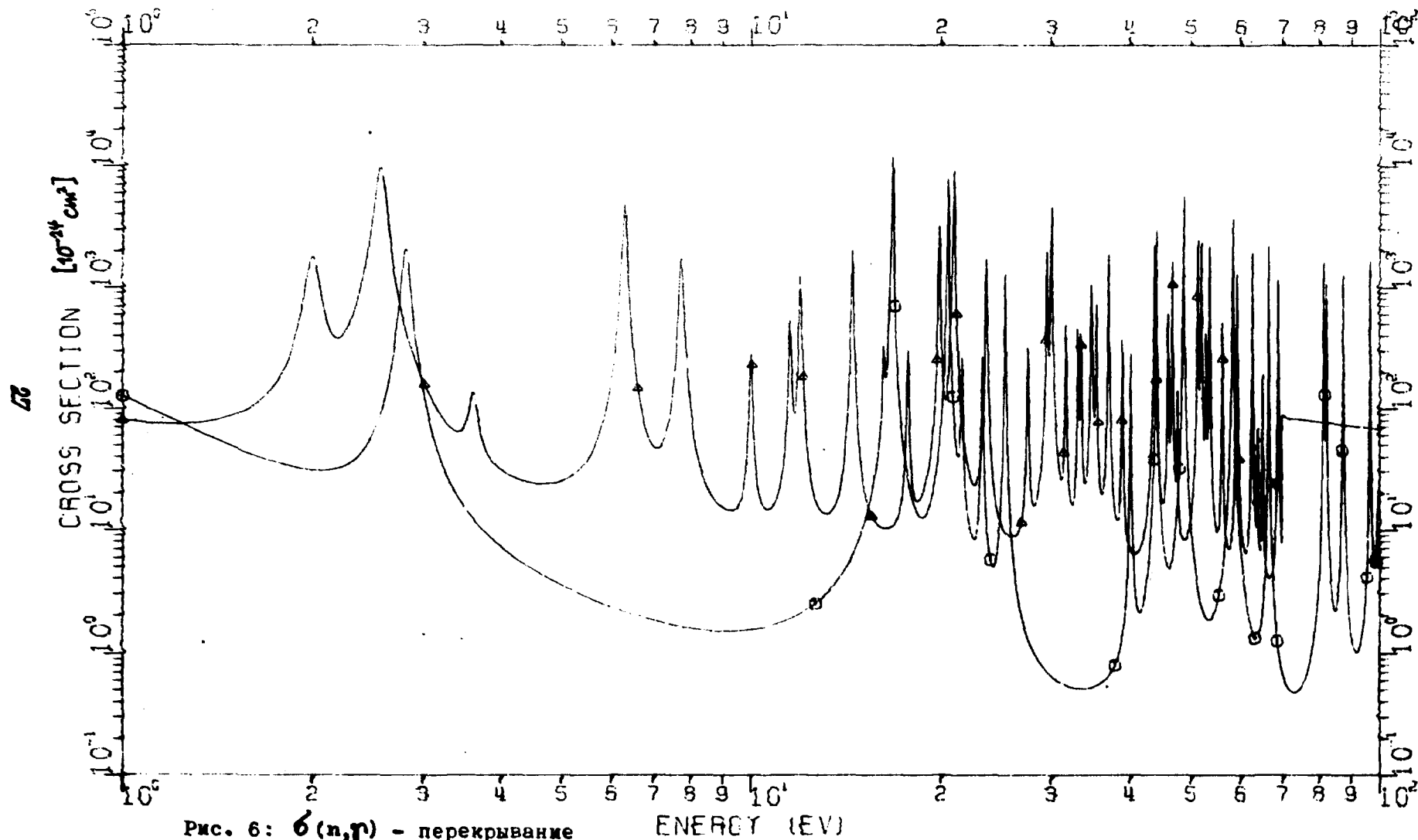


Рис. 6:  $\sigma(n, \gamma)$  - перекрывание резонансов Gd 155 ( $\Delta$ ) и Gd 157 ( $\circ$ ) в надтепловой области

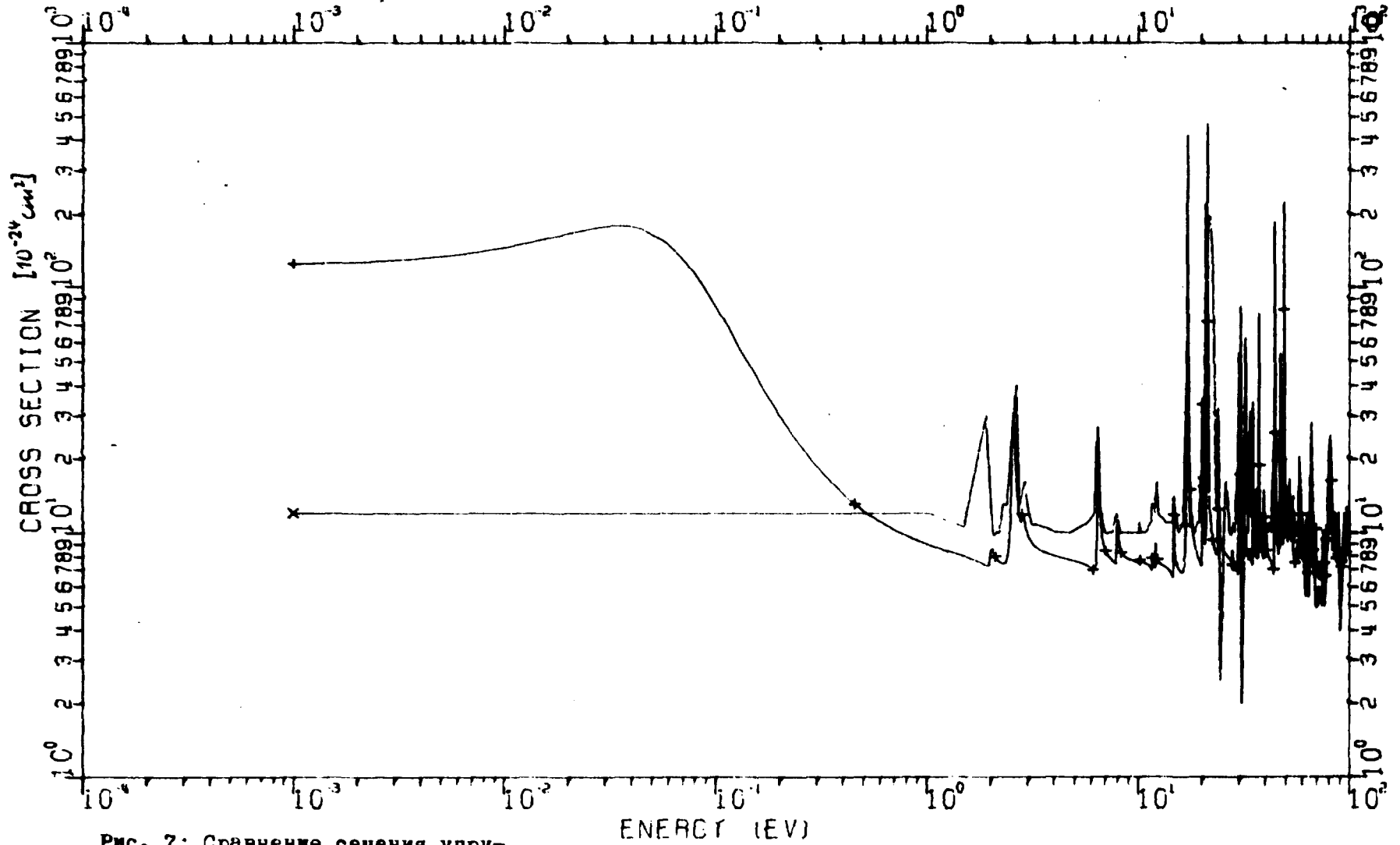


Рис. 7: Сравнение сечения упругого рассеяния для гадолиния из ENDF/B-IV (+) и ENDL 78 (x)

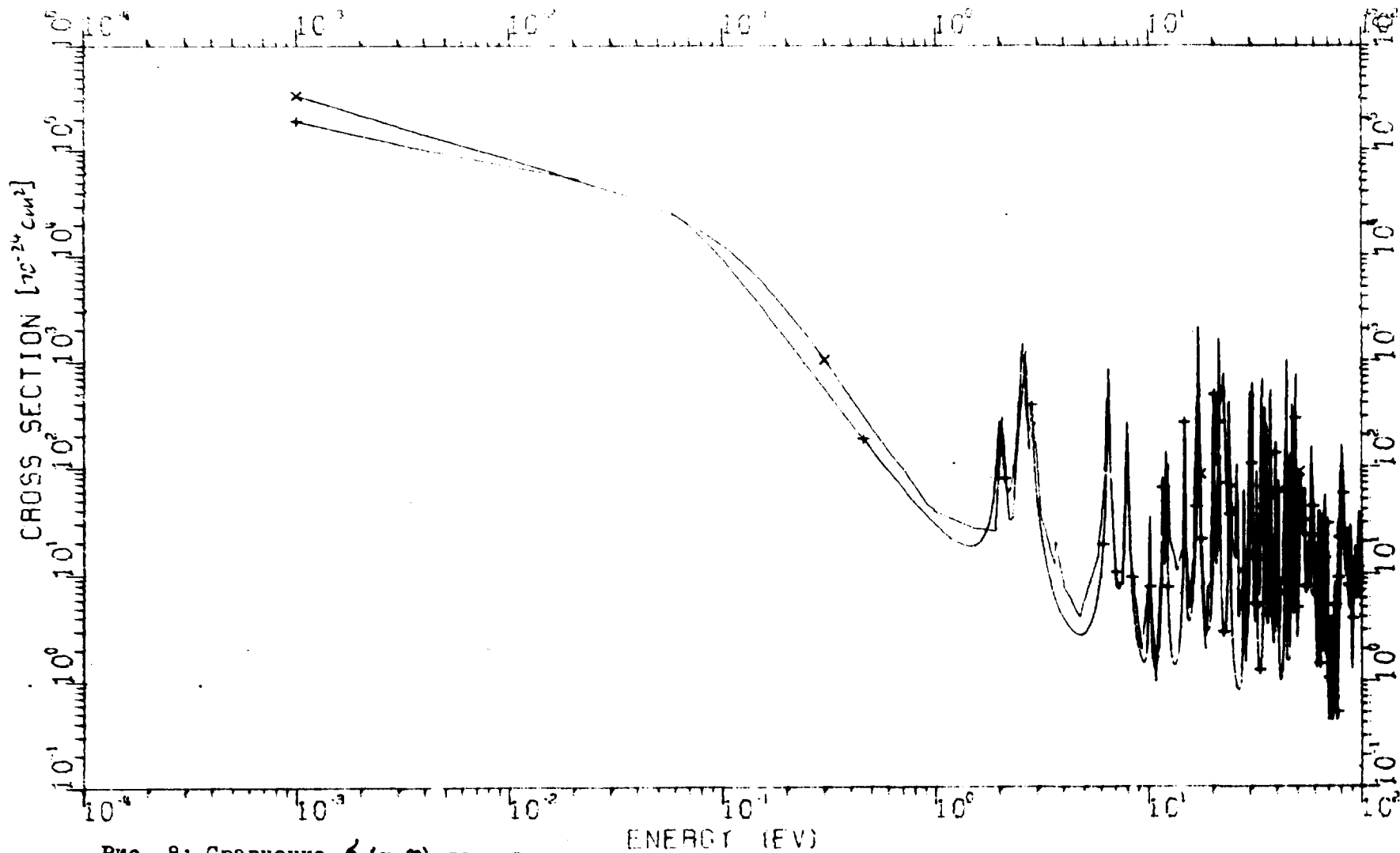


Рис. 8: Сравнение  $\sigma(n, \gamma)$  для гадолиния из ENDF/B-IV (+) и ENDL 78 (x)